

Évaluation kinésithérapeutique des troubles neuropsychologiques

P. JAILLARD, V. CANNIZO,
M. DARRIGRAND, V. ROULET,
S. VIALLARD



KINESITHERAPIE
SCIENTIFIQUE



- Pourquoi une rééducation vésico-sphinctérienne précoce post-prostatectomie radicale est nécessaire ?
K. SANANIKONE, D. BEURTON
- Quelques aspects intéressants anatomiques et mécaniques de la charnière crâno-rachidienne (1^{re} partie)
J.-Ch. KLEIN
- Étude par méthode pliométrique des conséquences des plasties de ligament croisé antérieur
B. BROGLIO, J.-L. CAILLAT-MIOUSSE, E. BOUVAT
- Le rythme biomécanique fondamental justifie la Kinésithérapie Analytique
R. SOHIER

Quelques aspects intéressants anatomiques et mécaniques de la charnière cranio-rachidienne

(1^{ère} partie)

Jean-Charles KLEIN*

“La compréhension méticuleuse des phénomènes mécaniques de la jonction cranio-rachidienne permettra une évolution quant à la prise en charge du patient. Des bilans et des traitements fins seront adaptés à cette charnière.”

Beaucoup d'études biomécaniques et radiocliniques concernant le rachis cervical supérieur ont été menées dans les départements de neurologie, d'orthopédie ou de radiologie depuis 1934. Des thèses contradictoires en ressortent.

Les kinésithérapeutes et les ostéopathes ont ajouté un support clinique manuel grâce aux tests de mobilité.

Quelques rappels anatomiques et cinématiques du rachis cervical supérieur

L'unité occipito-atloïdo-axoïdiennne est un segment vertébral unique. Elle ne possède pas de disque intervertébral et son système ligamentaire complexe est très spécialisé sur le plan biomécanique.

Les ligaments alaire et transverse confèrent à l'ensemble une stabilité tridimensionnelle.

C'est une des régions les plus sollicitées, le rachis cervical bougeant 600 fois par heure, éveillé ou endormi (Bland, 1990) [3].

L'articulation occipito-atloïdiennne (OA) a pour principal mouvement la flexion-extension. La rotation de l'OA reste un sujet de controverse : certains auteurs [29] lui attribuent 0°, alors que d'autres trouvent 3 à 5° de chaque côté [5, 10, 14].

La luxation occipito-atloïdiennne est, le plus souvent, fatale. Bailey et coll. [2] en décrivent une mortelle suite au déploiement d'un airbag.

L'articulation atloïdo-axoïdiennne (AA) est atypique puisqu'elle est biconvexe dans le sens antéro-postérieur. Elle est, de par sa nature, instable et nécessite un système ligamentaire adapté.

La valeur moyenne de rotation de l'AA se situe autour de 40° [6], avec des extrêmes entre 31 et 47° de chaque côté [5, 22, 26].

MOTS CLÉS

- Articulation occipito-atloïdiennne (OA) et atloïdo-axoïdiennne (AA)
- Axe instantané de rotation
- Charnière cranio-rachidienne
- Ligament alaire et transverse
- Test de mobilité

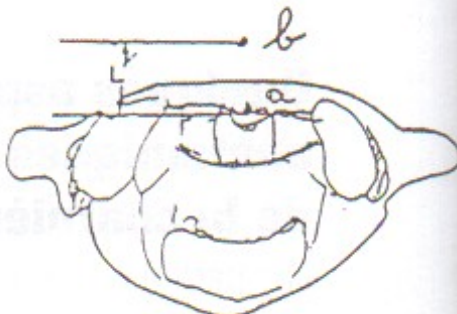
* Kinésithérapeute, Ottmarsheim (68)
Ostéopathe, Mulhouse (68)

Quelques aspects intéressants anatomiques et mécaniques de la charnière crano-rachidienne (1^{re} partie)

White et Panjabi [8, 30], puis Tucker [26] établissent qu'il faut une rotation maximale de l'AA avant que le reste de la colonne cervicale ne participe.

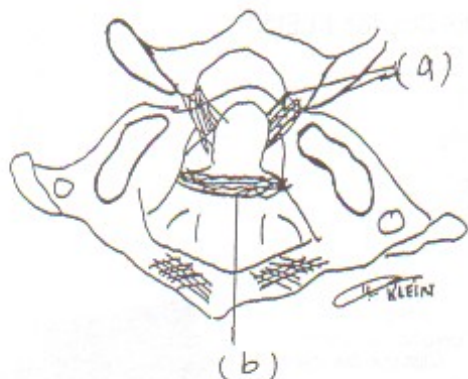
L'articulation occipito-atlidoïdienne représente 50% de la flexion-extension cervicale [16].

L'articulation atlido-axiodienne assure 50 à 77% de la rotation cervicale [5, 10, 21].



▲ Schéma 4

Sujet en position neutre (inspiré de Al-Eiani et coll. [1])
a- Axe de rotation de la tête
b- Centre de gravité de la tête



▲ Schéma 1

- a- Ligament clair
- b- Ligament transverse

Le ligament transverse s'insère uniquement sur l'atlas et participe, avec l'arc antérieur de l'atlas, à la trochlée où se loge l'odontoïde.

Les ligaments alars sont occipito-odontoidiens. Pour Roche, Dvorak et Panjabi [5, 22], leur rôle est d'empêcher une rotation excessive de la jonction crano-rachidienne.

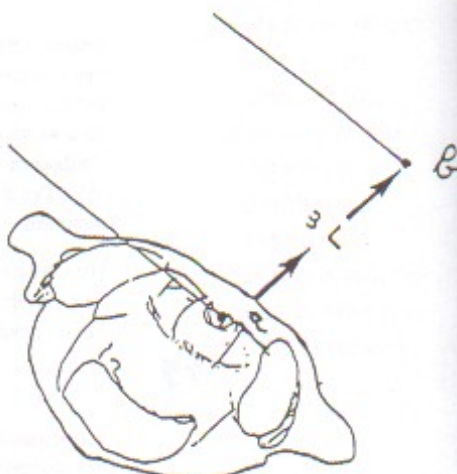


▲ Schéma 2

Les articulations atlido-axiodiennes sont instables sans le ligament transverse et les ligaments alars [20].

▲ Schéma 3

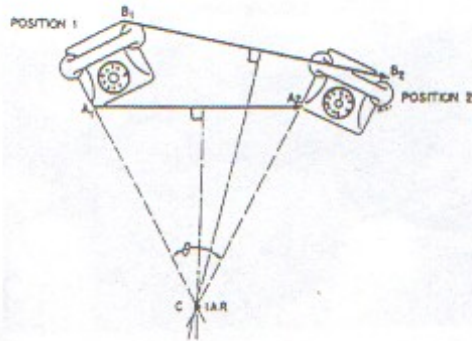
Les articulations atlido-odontoïdiennes et transverso-odontoïdiennes sont instables postéro-anteriorlement lorsque le ligament transverse est rompu ou lâché par un processus traumatique [15, 16] ou inflammatoire [23, 25] (distrasie atlido-occitoïdien).



▲ Schéma 5

Lors de la rotation de la tête, la distance entre le centre de gravité de la tête et l'axe de rotation vertical de l'AA est triplée. Le moment de force est donc augmenté. Ceci accroît le glissement antérieur de l'atlas. Lors des torticolis traumatiques inflammatoires et/ou infectieux (syndrome de Grisel), l'intégrité du ligament transverse induira ou non une instabilité de l'atlas lorsque la tête se présente en rotation.

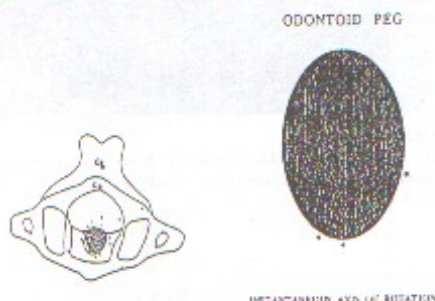
Le mouvement de rotation de l'AA passe actuellement par la notion d'axe instantané de rotation (AIR) décrit par White et Panjabi (schéma 6).



▲ Schéma 6

D'après White et Panjabi [30] : *Clinical biomechanics of the spine*, 1990, p. 89
La méthode actuelle pour déterminer l'angle instantané de rotation (AIR) : AIR est construit à partir de deux perpendiculaires sur les déplacements vectoriels de A et B. L'angle Θ suit le déplacement A1-A2.

Les études, très récentes, menées *in vivo* par les équipes d'Hiroshi [10] et de Roche [22], confirment la présence de l'AIR au niveau de l'odontoïde (schémas 7 et 8).



▲ Schéma 7

Étude portant sur la rotation active du rachis cervical supérieur chez 20 sujets normaux en radiographie biplane informatisée
L'AIR se situe, dans 88% des cas, au niveau de la dent de l'axis (ellipse hachurée)
D'après Hiroshi Li et coll. : Three dimensional motion analysis of the upper cervical spine during axial rotation. Spine 1993;18(16):2388-92

▲ Schéma 8

Localisation des AIR au niveau de l'odontoïde chez 15 sujets sains
12 sur 15 ces étudiés ont un AIR au niveau de la partie postérieure de l'odontoïde
D'après Roche et coll. The atlanto-axial joint : physiological range of rotation on MRI

Ebraheim et coll. [6], après des expérimentations menées sur 18 paires d'os sec C1-C2, ont établi que la surface canalaire de C2 est en relation avec la rotation et le déplacement antérieurs de l'atlas. Ses résultats sont à peu près concordants avec ceux de Tucker [26].

Lors de la rotation maximale de l'articulation atlanto-axiale (47°), il persiste 61 % de la surface canalaire initiale à ce niveau (Tucker, 1998 [26]).

Au niveau de l'axis, la moelle cervicale n'occupe que 27 % de la surface canalaire totale [4]. En conséquence, dans les conditions physiologiques, aucune rotation de C1-C2 ne peut causer de compression médullaire [22].

Pour Mazzara et Fielding [18], l'AA doit effectuer 64° de rotation droite ou gauche pour réduire suffisamment le canal rachidien et provoquer une compression médullaire.



▲ Schéma 9

Position neutre de l'articulation atlanto-axiale (AA) (vue supérieure)
La surface canalaire est représentée par des gris

▲ Schéma 10

Rotation maximale de C1 avant que C2 ne bouge
La masse latérale de l'atlas recule du côté où la tête tourne
Remarquez comme la surface canalaire se réduit à ce niveau

Ceci explique que les fractures de l'atlas décrites par Levine s'accompagnent rarement de signes neurologiques. Sur 34 fractures de l'atlas, seules 2 ont été suivies de complications neurologiques [16, 17].

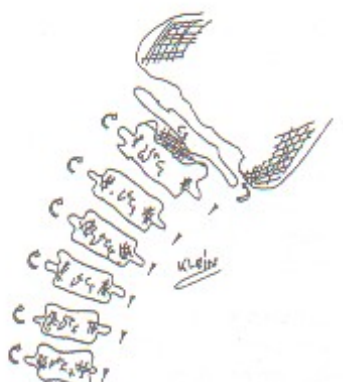
Quelques schémas cinématiques de la charnière crano-rachidienne aideront à la compréhension des clichés radiographiques et des tests cliniques.



▲ Schéma 11

Hori et Baker [11, 12], en 1964, lors d'études sur les vues antéro-postérieures cinéoradiographiques, visualisent l'écoubage épinaeus de C2 qui commence à bouger dans le sens contralatéral après 30° de rotation active de la tête

Quelques aspects intéressants anatomiques et mécaniques de la charnière cranio-rachidienne (1^{re} partie)



◀ Schéma 12

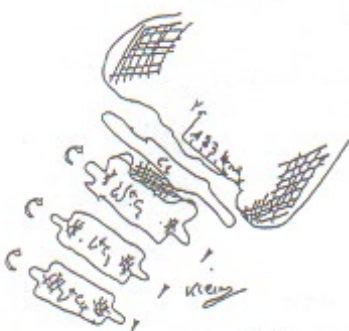
La latéro-flexion active de l'articulation occipito-atlantide s'accompagne d'une rotation de l'axe du côté de l'inclinaison latérale [Weme, 1957 [27]]. Shapiro et Youngberg [24], en 1978, mettent en évidence une contre-rotation de C1 pour maintenir la tête dans l'axe.



▲ Figure 2

Position normale de l'AA

L'apophyse épineuse de l'axis est bien centrée (en pointillés)



◀ Schéma 13

Expérimentation :
7 auteurs, de 1934 à 1991, précisent que l'axis glisse du côté homolatéral à l'inclinaison latérale du rachis cervical [3, 8, 9, 11, 12]. Ce glissement latéral peut aller jusqu'à 4 mm dans les conditions physiologiques.



▲ Figure 3

Lors de l'inclinaison gauche, l'épineuse de C2 se déplace à droite avec retrait à gauche de l'axis, signant ainsi sa rotation (C2 se postérieurise à gauche)

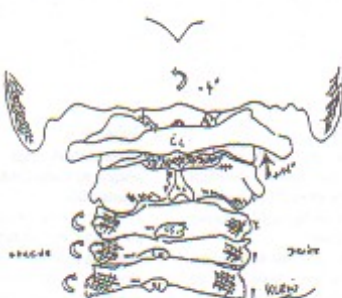


▲ Figure 1

Lors de la l'inclinaison droite du rachis cervical, l'apophyse épineuse de C2 se déplace à gauche signant la rotation droite de l'axis (apophyse épineuse à gauche en pointillés).

L'espace atlanto-axialien est plus étroit à droite

Est-ce dû à la masse latérale droite de C1 qui recule ?



◀ Schéma 14

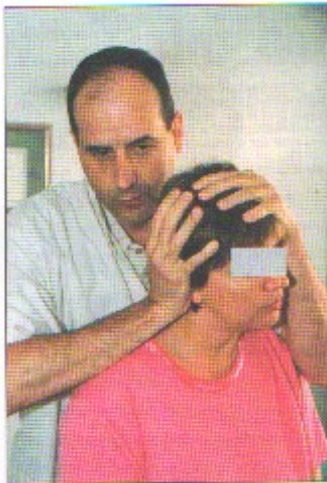
Hiroshi et Coworkers [10], en 1993, lors d'une étude en radiologie bidimensionnelle portant sur les mouvements de rotation *in vivo* du rachis cervical supérieur, concluent que C1-C2 effectuent une contre-rotation de 4° et C1-C2 une inclinaison contralatérale de 11°.

L'AA compense donc l'inclinaison homolatérale des autres vertèbres cervicales, et permet à la tête de rester droite.

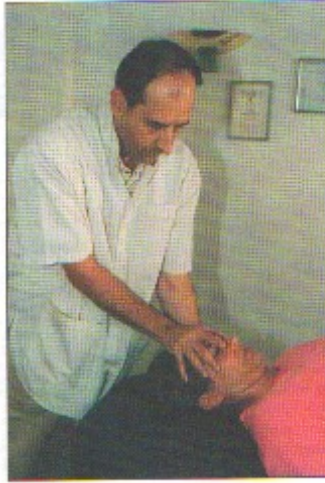
C'est une étude *in vivo* très intéressante car peu d'expérimentations de ce type concernent le rachis cervical supérieur.

Ces études récentes viennent donc contredire les notions développées par Weme [27] et Kapandji [19] qui considèrent que l'inclinaison latérale de l'AA était impossible.

Les tests de mobilité permettent de détecter manuellement les articulations hypomobiles ou les postériorités de la charnière crano-rachidienne.



▲ Figure 4
Test postéro-anterior de l'occiput-atlas (OA)
 La main gauche exerce une compression sur le crâne.
 La main droite mobilise en rotation (faible ou inexistante) en inclinaison latérale ou en postéro-anterior sagittairement.



▲ Figure 5
Test antéro-postérieur de l'OA, patient en décubitus dorsal
 La poussée en arrière se fait par le mouvement du praticien en forte avant.



▲ Figure 6
Mobilisation de l'OA en inclinaison latérale, colonne cervicale en rotation maximale
 La main, non visible, fait un couple de force avec la main visible dans le sens de l'inclinaison latérale de l'OA.
 Contre-indications : vertiges positionnels, nystagmus ou sensation hypotymique du patient.



▲ Figure 7
Test en décompression de l'OA
 La main droite sous-occipitale exerce une poussée vers le haut.
 La main gauche stabilise la tête.



▲ Figure 8
Test en translation latérale de C1 par rapport à l'occiput
 L'occiput est stabilisé par la main supérieure. La main inférieure exerce une translation horizontale (bras en fer à cheval).
 Le test peut être effectué en actif (voir Biomécanique de l'atlas en inclinaison latérale du rachis cervical).



▲ Figure 9
Test de mobilité de C2 avec inclinaison latérale gauche du rachis cervical (actif et passif)
 L'apophyse épineuse de C2 se déplace du côté droit. Le pouce est au côté gauche de l'épineuse de C2.
 Le même test est pratiqué en inclinaison latérale droite de la colonne cervicale (voir Biomécanique de l'axis).

Quelques aspects intéressants anatomiques et mécaniques de la charnière crano-rachidienne (1^{re} partie)



▲ Figure 10

Test de mobilité de C2 avec rotation gauche de la colonne cervicale : prise à 3 doigts

Le troisième doigt est sur l'apophyse épineuse de C2. Les 2^e et 4^e doigts sont sur C2 respectivement.

L'hémicorps de C2 avance (4^e doigt), l'épineuse de C2 se déplace à droite.

L'hémicorps gauche recule du côté de la rotation de la tête (2^e doigt).



▲ Figure 11

Test de mobilité de l'IAA

Lors de la rotation gauche de la tête, la masse latérale droite avance (4^e doigt). Celle de gauche recule (2^e doigt).

Enfin, l'épineuse de l'axis se déplace à droite (3^e doigt).

Conclusion

La compréhension méticuleuse des phénomènes mécaniques de la jonction crano-rachidienne permettra une évolution quant à la prise en charge du patient. Des bilans et des traitements fins seront adaptés à cette charnière.

Suite dans notre numéro de juillet

Indexation Internet :
Biomécanique – Cou – Tête

Bibliographie

- AL-STANI H, DASTOLI L, LETTS M, RAHIM V, MEADON A. Masked rotatory of the axis associated with fracture of the odontoid: a clinical and biomechanical analysis. *J Bone Joint Surg [Br]* 2002;84:205-10.
- BAILAY H, PEREZ V, BLANK REID C, KAPLAN LJ. Atlanto-axial rotatory subluxation: an unusual finding after injury. *J Bone Joint Surg [Am]* 2002;84:211-8.
- BLAND J, BILLSHEY DR. Anatomy and physiology of the cervical spine. *Seminars in Radiology* 1998;20:171-20.
- DODDAMAN-POST LV. Computer tomography of the spine. *Orthopedics*. Williams & Wilkins, 1984, p. 646.
- DOVRAK J, PANJABI M, GERSER M, WICHMANN W. Function, diagnosis of the rotatory mobility of upper cervical spine: an experimental study of cadavers. *Spine* 1997;22:121-7.
- EBRAHEIM NA, XYRIS R, AHMED M, HECK B. The effect of education on instrumented rotation of the cervical spine using a computer-assisted anterior view. *Am J Physio* 2000;279:T289-93.
- ELLIS GL. Imaging of the axis (C1) and axis (C2). *Engin Med Qa. Arch Am Acad Orthop Surg* 1987; v18:719-31.
- FIELDING J, HAWKINS R. Atlanto-axial rotatory fixation. *J Bone Joint Surg* 1977; v69A:57-64.
- FIELDING JW, et al. Atlanto-axial rotatory subluxations. *Orthop Qa. Arch Am Acad Orthop Surg* 1979;13:569-73.
- FIRSHL I, HEDGES R, SELMI G, KAZILISAT Y, YAVUSLUYE Y, YAVUSLUYE T. Three-dimensional image analysis of the upper cervical spine during neck rotation. *Spine* 1993;v18:n.10:238-92.
- HORN H, BAKER JP. The atlanto-axial joint. *J Bone Joint Surg* 1964;vol 46A: 793.
- ICHL M. Normal motions of the upper cervical spine. *J Bone Joint Surg* 1964; vol 46A: 777-9.
- KAPANDJI I. *Physiologie articulaire*. Tome 3. Paris : Masson, 1989.
- KARHU JO, PARKKOLA RK, KEMU VE, KERMANN ULL, KOSKINEN SK. Rhomboid magnetic resonance imaging of the upper cervical spine using a novel positioning device. *Spine* 1995;v20:n.23:3049-66.
- LEVINE A. Analysis of the immature ligament associated with a fracture of the atlas: a case report. *Orthop Evol* 2001;67:7-11.
- LEVINE A, EDWARDS C. Treatment of injuries in the C1-C2 complex. *Orthop Qa. Arch Am Acad Orthop Surg* 1986;v10:1737-44.
- LEVINE A, EDWARDS C. Fractures of the atlas. *J Bone Joint Surg* 1991;vol 73: 680-90.
- Mazzara JT, Fielding JW. Effect of C1-C2 rotation on canal size. *Clin Orthop* 1989;v237:1-9.
- OBRIEN J, BUTTERFIELD W, GOSSLING H. Jefferson fracture with disruption of the transverse ligament: a case report. *Orthop Evol* 1997;v1:128-34.
- PANJABI M, CRISCO JJ, LYDON C, DYCRAK J. The mechanical properties of human cervical transverse ligaments at low and fast extension rates. *Cervical Biomechanics* 1993;v13:n.2:112-20.
- PEPPINO L, WILMINK JT. Rotation of the cervical spine: ACT study in normal subjects. *Spine* 1997;v22:1273-8.
- ROCHFORD J, KING SL, DANGERFIELD PH, CARRY H-M. The atlanto-axial joint: pathophysiological range of rotation in MRI and CT. *Clin Radiol* 2002;v57:n.2: 13-8.
- SERFE H, DINOSI L. Atlanto-axial dislocation in rheumatoid arthritis. *Rheumatism* 1995;v12:203.
- SHAPIRO B, YOUNGBURG AS, ROTTMAN S-LG. The differential diagnosis of traumatic lesions of the occipito-atlanto-axial segment. *Postgrad Med J* 1997; 73:1150-1153.
- SILLMAN AW, ROCHESTER NY. Subluxation of the atlanto-axial joint: second to inflammatory processes of the neck. *J Postgrad Med* 1948;v43:234-51.
- TICKLER SK, TAYLOR RA. Spinal canal capacity in寰枢关节 dislocations of the atlanto-axial segment. A scoliosis study. *J Bone Joint Surg* Br 1993;v75:n.5: 127-8.
- WERNE A. Slides in spondylotic atlas subluxation. *J Orthop Soc* 1957; nspl:151-152.
- WHITE AA, PARNABY MM. Operative treatment of the spine. *Operative Monographs of the American Academy of Orthopaedic Surgeons*, USA, 1981, pp. 67-75.
- CLARK GR, DICKER TB, DYCRAK J, SARFATI SR, HERKOVITZ H-N, LEVINE A-V, MIZELLOH PG, ULRICH CG, ZEIDMAN SM. *The cervical spine*. 3^e ed. Lippincott-Raven Publishers, 1999.
- WHITE AA, PANJABI MM. *Clinical biomechanics of the spine*. 1^{re} éd. Williams & Wilkins publishers, 1990.

Fiche d'évaluation

1. Le mouvement principal de l'OA est la rotation	Oui <input type="checkbox"/> Non <input type="checkbox"/>	9. Après 30° de rotation active de la tête, C2 commence à bouger	Oui <input type="checkbox"/> Non <input type="checkbox"/>
2. La mouvement principal de l'IAA est la rotation	Oui <input type="checkbox"/> Non <input type="checkbox"/>	10. L'atlas glisse du côté homolatéral à l'inclinaison latérale du rachis cervical	Oui <input type="checkbox"/> Non <input type="checkbox"/>
3. L'IAA représente plus de la moitié de la rotation cervicale totale	Oui <input type="checkbox"/> Non <input type="checkbox"/>	11. La rotation de l'axis est associée au glissement homolatéral de l'atlas lors de l'inclinaison latérale de la colonne cervicale	Oui <input type="checkbox"/> Non <input type="checkbox"/>
4. Les ligaments alaires préviennent une rotation excessive de C1-C2	Oui <input type="checkbox"/> Non <input type="checkbox"/>	12. L'inclinaison latérale de l'IAA est impossible	Oui <input type="checkbox"/> Non <input type="checkbox"/>
5. Le ligament transverse assure une stabilité postéro-antérieure de l'atlas	Oui <input type="checkbox"/> Non <input type="checkbox"/>	13. Lors de la rotation de la tête, C1 commence à bouger, puis C2 et le reste du rachis cervical moyen et inférieur suivent	Oui <input type="checkbox"/> Non <input type="checkbox"/>
6. La section d'un ligament alaire rend instable la rotation contralatérale de l'OA et l'IAA	Oui <input type="checkbox"/> Non <input type="checkbox"/>	14. Y a-t-il une différence entre hypermobilité et instabilité segmentaire ?	Oui <input type="checkbox"/> Non <input type="checkbox"/>
7. La rotation de l'IAA réduit la surface canalaire de C1-C2	Oui <input type="checkbox"/> Non <input type="checkbox"/>		
8. La surface du canal médullaire est petite au niveau de C1-C2. Les complications myéopathiques sont courantes	Oui <input type="checkbox"/> Non <input type="checkbox"/>		

Réponses page 64